

# Projet Axessim : Calcul de matrice d'impédance pour la simulation numérique des lignes de transmission multi-conducteur

Proposé par C. Giraudon, P. Helluy et T. Strub,  
avec G. Dollé, N. Pham, A. Samake, A. Assmar, qui

Semaine d'étude Maths-Entreprises



Strasbourg, le 27 juin 2014

# Plan de la présentation I

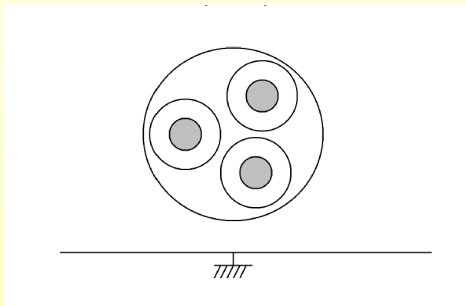
- 1 Introduction
- 2 Problème
- 3 Cas des cables et des blindages
- 4 Cas test
- 5 Conclusions et perspectives

# Plan

- 1 Introduction
- 2 Problème
- 3 Cas des cables et des blindages
- 4 Cas test
- 5 Conclusions et perspectives

## Problème physique

Calculer les tensions  $U(z, \omega) = (u_1 \cdots u_N)^T$  et les courants  $I(z, \omega) = (I_1 \cdots I_N)$  complexes dans un faisceau de conducteurs  $w_i$ ,  $i = 1 \cdots N$ . Les cables sont entourés d'un blindage  $w_0$ . La forme du faisceau est fixée dans le plan  $(x, y)$  et invariante suivant  $z$ .



Exemple de section de cab

# Ligne de transmission

Équation des lignes de transmissions ( $j^2 = -1$ )

$$\frac{\partial U}{\partial z} = ZI, \quad Z = R + j\omega L,$$
$$\frac{\partial I}{\partial z} = YU, \quad Y = G + j\omega C.$$

Matrices : Impédance  $Z$ , Résistance  $R$ , Inductance  $L$ , Admittance  $Y$ , Conductance  $G$ , Capacité  $C = L^{-1}$ .

Propriétés des matrices :

- Symétrique
- Définie positive

# Problème

Flux magnétique  $\varphi(x, y)$ .

Champ magnétique : dérive d'un potentiel vecteur

$$B = \nabla \times (0, 0, \varphi)^T.$$

et

$$\nabla \times B = (0, 0, j_z)^T$$

avec

- $j_z(x, y)$  : densité de courant suivant  $z$
- $I_i = \int_{w_i} (x, y) dx dy$  : courant

On a

$$-\nabla \varphi = \begin{cases} j_z \\ 0 \end{cases} \quad \text{sur } \Omega = w_0 \setminus \cup_i w_i, \quad (1)$$

# Plan

- 1 Introduction
- 2 Problème
- 3 Cas des cables et des blindages
- 4 Cas test
- 5 Conclusions et perspectives

## Sous forme de matrice

On peut écrire

$$\varphi = \sum_k \phi_k \tilde{\varphi}_k \quad (2)$$

avec  $\tilde{\varphi}$  est solution de problème suivante

$$\begin{cases} -\Delta \tilde{\varphi} = 0 & \text{sur } \Omega \\ \tilde{\varphi} = \delta_{ij} \end{cases} \quad (3)$$

donc on a

$$\sum_j \phi_j \left( \int_{w_i} -\Delta \tilde{\varphi}_j \right) = l_i \quad (4)$$

ou bien

$$\sum_j \phi_j \left( \int_{\partial w_i} -\nabla \tilde{\varphi}_j \right) \cdot n = l_i \quad (5)$$

en d'édit

$$\sum_j M_{ij} \phi_j = l_i \quad \forall i \quad (6)$$



# Calcul la matrice M

On a

$$M_{ij} = \int_{\partial w_j} \frac{\partial \varphi_i}{\partial n} \quad (7)$$

Propriétés de la matrice  $M$

- Symétrique
- Définie positive
- Inversible

Ou bien

$$M\phi = I \quad \text{ou bien} \quad \phi = LI \quad \text{où} \quad L = M^{-1} \quad (8)$$

# Calcul la matrice M

Problème quand on a calculer directement l'intégrale : La matrice  $M$  n'est plus symétrique  $\Rightarrow$  solution : formulation faiblement

$$\int_{\Omega} -\Delta \varphi \psi = \int_w \nabla \varphi \psi - \int_{\partial w} \nabla \varphi \cdot n \psi = \int_{\partial w} \nabla \varphi \cdot n \quad (9)$$

avec  $\psi \in H(w)$  satisfait

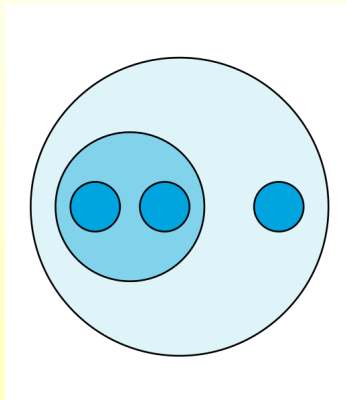
$$\psi(z) = \begin{cases} 0 & \text{si } z \in w \\ 1 & \text{si } z \in \partial w \end{cases} \quad (10)$$

# Plan

- 1 Introduction
- 2 Problème
- 3 Cas des cables et des blindages
- 4 Cas test
- 5 Conclusions et perspectives

# Cas des cables et des blindages

- Blindage de référence  $w_0$  et  $N-1$  conducteurs  $w_1 \cdots w_{N-1}$
- Chaque conducteur  $w_i$  a  $N-1$  sous conducteurs dedans
- Chaque conducteur  $w_i$  matrice d'inductance  $L_{int}^i$
- $L_{ext}$  : matrice d'inductance des conducteurs extérieurs



# Cas des cables et des blindages

On obtient

$$\begin{bmatrix} \phi_{ext} \\ \tilde{\phi}_{int}^1 \\ \vdots \\ \tilde{\phi}_{int}^{N_{int}} \end{bmatrix} = \begin{bmatrix} L_{ext} & & & \\ & L_{int}^1 & & \\ & & \ddots & \\ & & & L_{int}^{N_{int}} \end{bmatrix} \begin{bmatrix} \tilde{l}_{ext} \\ l_{int}^1 \\ \vdots \\ l_{int}^{N_{int}} \end{bmatrix}$$

en d'éduite

$$\begin{bmatrix} \phi_{ext} \\ \tilde{\phi}_{int} \end{bmatrix} = \begin{bmatrix} L_{ext} & \\ & L_{int} \end{bmatrix} \begin{bmatrix} \tilde{l}_{ext} \\ l_{int} \end{bmatrix}$$

( $\tilde{\phi}_{int}$  potentiel intérieur calculé avec une référence sur les blindages)

# Cas des cables et des blindages

## Changement de variables

$$\phi_{int} = \tilde{\phi}_{int} + \delta^T \phi_{ext}, \quad (11)$$

avec  $\delta$  : matrice de taille  $N_{ext} \times N_{int}$  et

$$\delta(i,j) = \begin{cases} 1 & \text{si le conducteur } j + N_{ext} \text{ est dans le conducteur } i, \\ 0 & \text{sinon.} \end{cases} \quad (12)$$

De plus,

$$\phi_{ext} = L \tilde{I}_{ext} = L(I_{ext} - \delta I_{int}) \quad (13)$$

La matrice d'inductance globale

$$\begin{bmatrix} \phi_{ext} \\ \phi_{int} \end{bmatrix} = L \begin{bmatrix} I_{ext} \\ I_{int} \end{bmatrix}$$

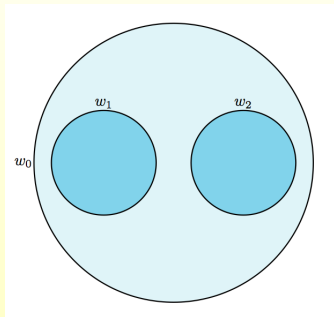
avec

$$L = P_I^T \begin{bmatrix} L_{ext} & 0 \\ 0 & L_{int} \end{bmatrix} P_I, \quad \begin{bmatrix} 1 & -\delta \\ 0 & 1 \end{bmatrix}$$

# Plan

- 1 Introduction
- 2 Problème
- 3 Cas des cables et des blindages
- 4 Cas test**
- 5 Conclusions et perspectives

# Cas simple d'un blindage avec des conducteurs



Blindage de référence  $w_0$ , 2 conducteurs  
 $w_1, w_2$

- 1<sup>ère</sup> étape : calcul  $\varphi_i$  avec  
 $i = 1, 2$ -solution de

$$\begin{cases} -\Delta\varphi_i = 0 & \text{sur } w_0 \\ \varphi_i = \end{cases} \quad (14)$$

- Chaque conducteur  $w_i$  a  $NN_i$  sous conducteurs dedans
- Chaque conducteur  $w_i$  matrice d'inductance  $L_{int}^i$
- $L_{ext}$  : matrice d'inductance des conducteurs extérieurs



# Plan

- 1 Introduction
- 2 Problème
- 3 Cas des cables et des blindages
- 4 Cas test
- 5 Conclusions et perspectives

## Bilan :

- AAA
- BBB
- CCC

## Bilan :

- AAA
- BBB
- CCC

## Perspectives :

- Cas général
- Problème global -> local
- Autres
- Modèles plus complexes

Merci de votre attention !